Modèles stochastiques individu-centrés avec des dynamiques allométriques.

Virgile Brodu

Workshop de la chaire MMB, Collège de France

Travaux de thèse encadrés par Sylvain Billiard, Nicolas Champagnat et Coralie Fritsch

13 octobre 2025







- Motivation biologique: relations allométriques.
- 2 Conception d'un modèle individu-centré.
- Résultats à ressource constante.
- A Résultats avec compétition pour la ressource.
- Synthèse.

Modèles stochastiques individu-centrés avec des dynamiques allométriques.

- Motivation biologique : relations allométriques.
- 2 Conception d'un modèle individu-centré.
- Résultats à ressource constante.
- A Résultats avec compétition pour la ressource.
- Synthèse.

Relations allométriques

•000

Une relation allométrique peut s'écrire sous la forme

$$B \propto M^{\alpha}$$
,

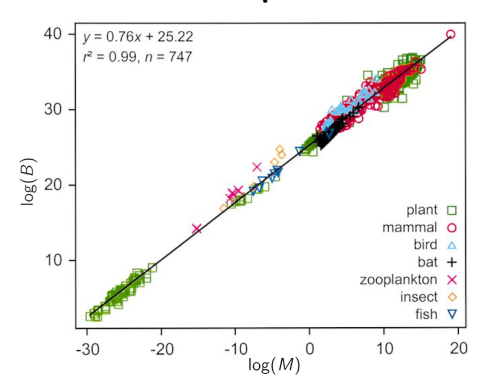
où α est appelé coefficient allométrique.

Relations allométriques

Une relation allométrique peut s'écrire sous la forme

$$B \propto M^{\alpha}$$
,

où α est appelé coefficient allométrique.



Peters '83, Ernest '03, Brown '04

La Théorie Métabolique de l'Écologie

Brown, Enquist, West '97,'04, Deeds, Savage '08 : le métabolisme comme mécanisme central.

Paramètre	Coefficient allométrique prédit
Taux métabolique	α

Virgile Brodu

Brown, Enquist, West '97,'04, Deeds, Savage '08 : le métabolisme comme mécanisme central.

Paramètre	Coefficient allométrique prédit
Taux métabolique	α
Taux de croissance (Malthus)	lpha-1
Capacité de charge	1-lpha
Densité spatiale	$-\alpha$
Consommation totale d'énergie	0

Virgile Brodu

Relations allométriques

0000

Relations allométriques

0000

Brown, Enquist, West '97,'04, Deeds, Savage '08 : le métabolisme comme mécanisme central.

Paramètre	Coefficient allométrique prédit
Taux métabolique	α
Taux de croissance (Malthus)	lpha-1
Capacité de charge	1-lpha
Densité spatiale	$-\alpha$
Consommation totale d'énergie	0

Energy Equivalence Rule (Damuth '81)

/irgile Brodu Workshop Chaire MMB 13 octobre 2025

Malerba, Marshall '19 : étude d'une population d'algues vertes, avec un mécanisme de sélection artificielle



Malerba, Marshall '19: étude d'une population d'algues vertes, avec un mécanisme de sélection artificielle --- au sein d'une espèce donnée.



Relations allométriques

Malerba, Marshall '19 : étude d'une population d'algues vertes, avec un mécanisme de sélection artificielle — au sein d'une espèce donnée.

$$\alpha = 0.93$$

Paramètre	Coefficient prédit	Coefficient mesuré
Taux de croissance	-0.07	
Capacité de charge	0.07	
Densité spatiale	-0.93	
Production de biomasse	0	

Virgile Brodu

Relations allométriques

Malerba, Marshall '19 : étude d'une population d'algues vertes, avec un mécanisme de sélection artificielle — au sein d'une espèce donnée.

$$\alpha = 0.93$$

Paramètre	Coefficient prédit	Coefficient mesuré
Taux de croissance	-0.07	0.38
Capacité de charge	0.07	0.35
Densité spatiale	-0.93	-0.59
Production de biomasse	0	0.41

Virgile Brodu

Relations allométriques

Malerba, Marshall '19 : étude d'une population d'algues vertes, avec un mécanisme de sélection artificielle — au sein d'une espèce donnée.

$$\alpha = 0.93$$

Paramètre	Coefficient prédit	Coefficient mesuré
Taux de croissance	-0.07	0.38
Capacité de charge	0.07	0.35
Densité spatiale	-0.93	-0.59
Production de biomasse	0	0.41

Allométries interspécifiques \neq Allométries intraspécifiques

/irgile Brodu Workshop Chaire MMB 13 octobre 2025

Objectifs

Modéliser des dynamiques de population avec des relations allométriques au niveau individuel (au niveau "microscopique").



Objectifs

- Modéliser des dynamiques de population avec des relations allométriques au niveau individuel (au niveau "microscopique").
- Inverser la manière habituelle de justifier les relations allométriques émergeant à l'échelle macroscopique (dans l'esprit de Wickman '24).

Objectifs

Relations allométriques

- Modéliser des dynamiques de population avec des relations allométriques au niveau individuel (au niveau "microscopique").
- Inverser la manière habituelle de justifier les relations allométriques émergeant à l'échelle macroscopique (dans l'esprit de Wickman '24).

Contributions

 Contraintes sur les relations allométriques (Billiard, B., Champagnat, Fritsch '25, soumis à AAP).

Objectifs

- Modéliser des dynamiques de population avec des relations allométriques au niveau individuel (au niveau "microscopique").
- Inverser la manière habituelle de justifier les relations allométriques émergeant à l'échelle macroscopique (dans l'esprit de Wickman '24).

Contributions

- Contraintes sur les relations allométriques (Billiard, B., Champagnat, Fritsch '25, soumis à AAP).
- Un résultat de tension (convergence ?) pour des taux de croissance, naissance et mort non-bornés (soumis d'ici fin 2025).

Objectifs

Relations allométriques

- Modéliser des dynamiques de population avec des relations allométriques au niveau individuel (au niveau "microscopique").
- Inverser la manière habituelle de justifier les relations allométriques émergeant à l'échelle macroscopique (dans l'esprit de Wickman '24).

Contributions

- Contraintes sur les relations allométriques (Billiard, B., Champagnat, Fritsch '25, soumis à AAP).
- Un résultat de tension (convergence ?) pour des taux de croissance, naissance et mort non-bornés (soumis d'ici fin 2025).
- Interprétation biologique de nos résultats mathématiques (travail en cours avec Sylvain Billiard).

Virgile Brodu Workshop Chaire MMB 13 octobre 2025

- Motivations biologiques: relations allométriques.
- 2 Conception d'un modèle individu-centré.
- Résultats à ressource constante.
- A Résultats avec compétition pour la ressource.
- Synthèse.

Relations allométriques

Cadre général

Modèle structuré en *énergie*, chaque espèce caractérisée par une **énergie à la naissance** $x_0 > 0$.



Cadre général

Modèle structuré en énergie, chaque espèce caractérisée par une énergie à la naissance $x_0 > 0$.

Population décrite par une mesure ponctuelle finie

$$\mu_t = \sum_{u \in V_t} \delta_{\xi_t^u}.$$

Cadre général

Modèle structuré en *énergie*, chaque espèce caractérisée par une **énergie** à la naissance $x_0 > 0$.

• Population décrite par une mesure ponctuelle finie

$$\mu_t = \sum_{u \in V_t} \delta_{\xi_t^u}.$$

• Ressources $R_t \in [0, R_{\mathsf{max}}]$.

• Population décrite par une mesure ponctuelle finie

$$\mu_t = \sum_{u \in V_t} \delta_{\xi_t^u}.$$

• Ressources $R_t \in [0, R_{\text{max}}]$.

Naissances et morts

• Population décrite par une mesure ponctuelle finie

$$\mu_t = \sum_{u \in V_t} \delta_{\xi_t^u}.$$

• Ressources $R_t \in [0, R_{\text{max}}]$.

Naissances et morts

Gain et perte d'énergie

• Population décrite par une mesure ponctuelle finie

$$\mu_t = \sum_{u \in V_t} \delta_{\xi_t^u}.$$

• Ressources $R_t \in [0, R_{\text{max}}]$.

Naissances et morts

Gain et perte d'énergie

→ Jumping Markov Process (Jacod, Skorokhod '96).

• Population décrite par une mesure ponctuelle finie

$$\mu_t = \sum_{u \in V_t} \delta_{\xi_t^u}.$$

• Ressources $R_t \in [0, R_{\text{max}}]$.

Naissances et morts

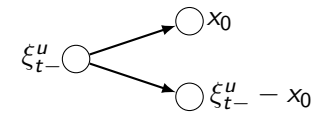
Gain et perte d'énergie

- → Jumping Markov Process (Jacod, Skorokhod '96).
- → Modèle individu-centré (Fournier et Méléard '04, Champagnat et al. '08, Tran '08, Campillo et Fritsch '15, Tchouanti '24).

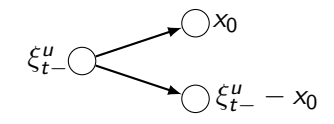
Virgile Brodu

Mécanismes aléatoires

• Naissance à taux $b(\xi_t^u)$.

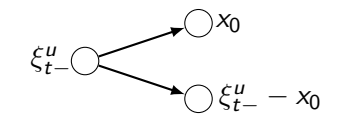


• Naissance à taux $b(\xi_t^u)$.



$$\mu_t \longleftarrow \mu_{t-} - \delta_{\xi_{t-}^u} + \delta_{\xi_{t-}^u - x_0} + \delta_{x_0}.$$

• Naissance à taux $b(\xi_t^u)$.



$$\mu_t \longleftarrow \mu_{t-} - \delta_{\xi_{t-}^u} + \delta_{\xi_{t-}^u - x_0} + \delta_{x_0}.$$

• Mort à taux $d(\xi_t^u)$.

$$\mu_t \longleftarrow \mu_t - \delta_{\xi_{t-}^u}$$
.

Virgile Brodu

Perte d'énergie à vitesse $\ell(\xi_t^u)$, gain d'énergie à vitesse $f(\xi_t^u, R_t)$.

$$\forall u \in V_t, \quad \frac{\mathrm{d}\xi_t^u}{\mathrm{d}t} = f(\xi_t^u, R_t) - \ell(\xi_t^u) =: g(\xi_t^u, R_t).$$

Perte d'énergie à vitesse $\ell(\xi_t^u)$, gain d'énergie à vitesse $f(\xi_t^u, R_t)$.

$$\forall u \in V_t, \quad \frac{\mathrm{d}\xi_t^u}{\mathrm{d}t} = f(\xi_t^u, R_t) - \ell(\xi_t^u) =: g(\xi_t^u, R_t).$$

• Évolution de $(R_t)_{t>0}$: deux modèles étudiés.

• Perte d'énergie à vitesse $\ell(\xi_t^u)$, gain d'énergie à vitesse $f(\xi_t^u, R_t)$.

$$\forall u \in V_t, \quad \frac{\mathrm{d}\xi_t^u}{\mathrm{d}t} = f(\xi_t^u, R_t) - \ell(\xi_t^u) =: g(\xi_t^u, R_t).$$

- Évolution de $(R_t)_{t>0}$: deux modèles étudiés.
 - Ressource constante.

$$\forall t \geq 0, \quad R_t = R.$$

• Perte d'énergie à vitesse $\ell(\xi_t^u)$, gain d'énergie à vitesse $f(\xi_t^u, R_t)$.

$$\forall u \in V_t, \quad \frac{\mathrm{d}\xi_t^u}{\mathrm{d}t} = f(\xi_t^u, R_t) - \ell(\xi_t^u) =: g(\xi_t^u, R_t).$$

- Évolution de $(R_t)_{t>0}$: deux modèles étudiés.
 - Ressource constante.

$$\forall t \geq 0, \quad R_t = R.$$

2 Compétition pour la ressource.

$$\frac{\mathrm{d}R_t}{\mathrm{d}t} = \rho(R_t, \mu_t) := \varsigma(R_t) - \chi \sum_{u \in V_t} f(\xi_t^u, R_t),$$

avec $\gamma > 1$.

- Métabolisme $\ell(x) := C_{\alpha} x^{\alpha}$,
- Taux de naissance $b(x) := \mathbb{1}_{x > x_0} \tilde{b}(x)$, avec $\tilde{b}(x) := C_{\beta} x^{\beta}$,
- Taux de mort $d(x) := C_{\delta} x^{\delta}$,
- Gain d'énergie $f(x,R) := \phi(R)C_{\gamma}x^{\gamma}$.

- Métabolisme $\ell(x) := C_{\alpha} x^{\alpha}$,
- Taux de naissance $b(x) := \mathbb{1}_{x > x_0} \tilde{b}(x)$, avec $\tilde{b}(x) := C_{\beta} x^{\beta}$,
- Taux de mort $d(x) := C_{\delta}x^{\delta}$,
- Gain d'énergie $f(x,R) := \phi(R)C_{\gamma}x^{\gamma}$.

Relations allométriques prédites par la Théorie Métabolique de l'Écologie (Yodzis '92, Brown '04, Denéchère '22):

$$\alpha = \gamma = \beta + 1 = \delta + 1.$$

- Motivations biologiques: relations allométriques.
- 2 Conception d'un modèle individu-centré.
- Résultats à ressource constante.
- A Résultats avec compétition pour la ressource.
- Synthèse.

Notations

• $(\mu_t)_{t\geq 0}$: population,



Notations

- $(\mu_t)_{t\geq 0}$: population,
- $(\Upsilon_n)_{n\in\mathbb{N}}$: générations,

- $(\mu_t)_{t>0}$: population,
- $(\Upsilon_n)_{n\in\mathbb{N}}$: générations,
- $(\xi_t)_{t\geq 0}$: trajectoire inviduelle aléatoire de condition initiale x_0 .

Définition

On définit N le nombre aléatoire d'événements de naissance durant la trajectoire ξ , et

$$m := \mathbb{E}(N)$$
.

Notations

- $(\mu_t)_{t>0}$: population,
- $(\Upsilon_n)_{n\in\mathbb{N}}$: générations,
- $(\xi_t)_{t>0}$: trajectoire inviduelle aléatoire de condition initiale x_0 .

Définition

On définit N le nombre aléatoire d'événements de naissance durant la trajectoire \(\xi, \) et

$$m := \mathbb{E}(N)$$
.

Proposition (**Propriété de branchement**)

Le processus $(\Upsilon_n)_{n\in\mathbb{N}^*}$ est un processus de Galton-Watson dont la loi de reproduction est celle de N.

Notations

- $(\mu_t)_{t>0}$: population,
- $(\Upsilon_n)_{n\in\mathbb{N}}$: générations,
- $(\xi_t)_{t>0}$: trajectoire inviduelle aléatoire de condition initiale x_0 .

Définition

On définit N le nombre aléatoire d'événements de naissance durant la trajectoire ξ , et

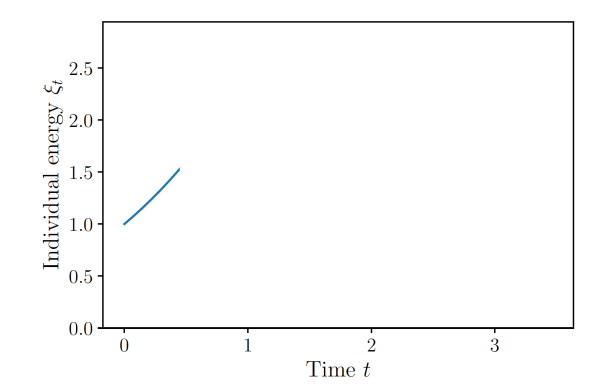
$$m := \mathbb{E}(N)$$
.

Proposition (**Propriété de branchement**)

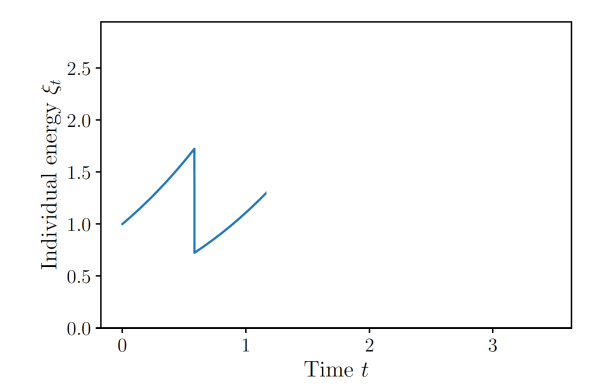
Le processus $(\Upsilon_n)_{n\in\mathbb{N}^*}$ est un processus de Galton-Watson dont la loi de reproduction est celle de N.

 \longrightarrow Étude de ξ en fonction de α , β , γ , δ et x_0 .

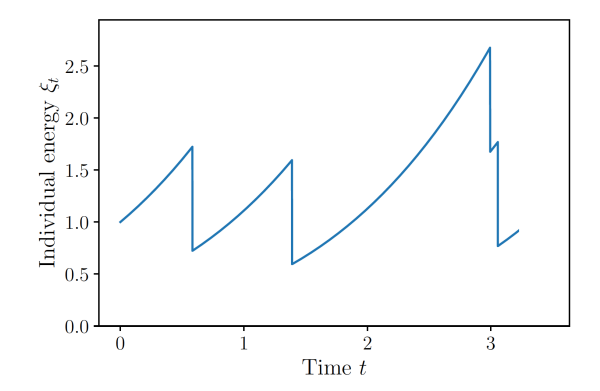
Workshop Chaire MMB 13 octobre 2025



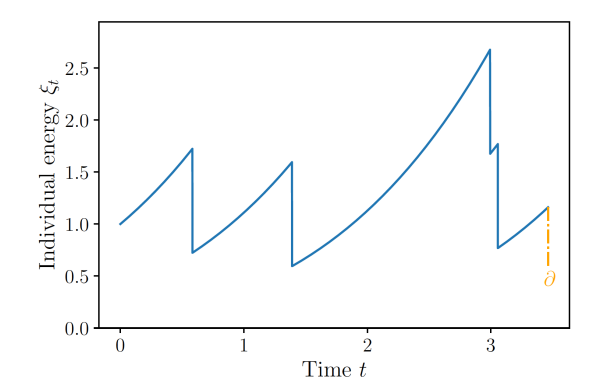
Virgile Brodu Workshop Chaire MMB 13 octobre 2025



Virgile Brodu Workshop Chaire MMB 13 octobre 2025



Virgile Brodu Workshop Chaire MMB 13 octobre 2025



gile Brodu Workshop Chaire MMB 13 octobre 2025

Définition

$$T_0 := \inf\{t \ge 0, \, \xi_t \xrightarrow[s \to t^-]{} 0\},$$

Hypothèses

Définition

$$\mathcal{T}_0:=\inf\{t\geq 0,\, \xi_t \xrightarrow[s\to t^-]{} 0\},\,\, \mathcal{T}_\infty:=\inf\{t\geq 0,\, \xi_s \xrightarrow[s\to t^-]{} +\infty\},$$

Hypothèses

Définition

$$\begin{split} T_0 := \inf\{t \geq 0, \, \xi_t \xrightarrow[s \to t^-]{} 0\}, \ T_\infty := \inf\{t \geq 0, \, \xi_s \xrightarrow[s \to t^-]{} + \infty\}, \\ T_d := \inf\{t \geq 0, \, \xi_t = \partial\}. \end{split}$$

Hypothèses

Définition

$$\begin{split} T_0 := \inf\{t \geq 0, \, \xi_t \xrightarrow[s \to t^-]{} 0\}, \ T_\infty := \inf\{t \geq 0, \, \xi_s \xrightarrow[s \to t^-]{} + \infty\}, \\ T_d := \inf\{t \geq 0, \, \xi_t = \partial\}. \end{split}$$

Hypothèse (Trajectoires individuelles bien définies)

Pour tout $x_0 > 0$, pour tout $R \in [0, R_{\text{max}}]$, presque sûrement,

$$T_d < T_0 \wedge T_{\infty}$$
.

Hypothèses

Définition

$$\begin{split} T_0 := \inf\{t \geq 0, \, \xi_t \xrightarrow[s \to t^-]{} 0\}, \ T_\infty := \inf\{t \geq 0, \, \xi_s \xrightarrow[s \to t^-]{} + \infty\}, \\ T_d := \inf\{t \geq 0, \, \xi_t = \partial\}. \end{split}$$

Hypothèse (Trajectoires individuelles bien définies)

Pour tout $x_0 > 0$, pour tout $R \in [0, R_{\text{max}}]$, presque sûrement,

$$T_d < T_0 \wedge T_{\infty}$$
.

Hypothèse (Survie de la population)

$$\forall x_0 > 0, \exists R_0 > 0, \forall R \ge R_0, \quad m > 1,$$

i.e. le processus Υ est surcritique, donc $\mathbb{P}(\forall t \geq 0, \ \mu_t \neq 0) > 0$.

Workshop Chaire MMB 13 octobre 2025

Hypothèses

Définition

$$\begin{split} T_0 := \inf\{t \geq 0, \, \xi_t \xrightarrow[s \to t^-]{} 0\}, \ T_\infty := \inf\{t \geq 0, \, \xi_s \xrightarrow[s \to t^-]{} + \infty\}, \\ T_d := \inf\{t \geq 0, \, \xi_t = \partial\}. \end{split}$$

Hypothèse (Trajectoires individuelles bien définies)

Pour tout $x_0 > 0$, pour tout $R \in [0, R_{\text{max}}]$, presque sûrement,

$$T_d < T_0 \wedge T_{\infty}$$
.

Hypothèse (Survie de la population)

$$\forall x_0 > 0, \exists R_0 > 0, \forall R \ge R_0, \quad m > 1,$$

i.e. le processus Υ est surcritique, donc $\mathbb{P}(\forall t \geq 0, \ \mu_t \neq 0) > 0$.

Workshop Chaire MMB 13 octobre 2025

Résultat principal

Hypothèses

Pour tout $x_0 > 0$,

- **2** $\exists R_0 > 0, \forall R \geq R_0, \quad \mathbb{P}(\forall t \geq 0, \ \mu_t \neq 0) > 0.$

Virgile Brodu

Hypothèses

Pour tout $x_0 > 0$,

- $\exists R_0 > 0, \forall R \geq R_0, \quad \mathbb{P}\left(\forall t \geq 0, \ \mu_t \neq 0\right) > 0.$

Théorème

Dans le cas allométrique, les hypothèses précédentes sont vérifiées, seulement si il existe C > 0 tel que

$$\gamma = \alpha$$
, $\delta = \alpha - 1$, $(\beta = \alpha - 1 \text{ or } \beta \ge \alpha - 1 + C)$.

Ressource constante

Virgile Brodu

- 1 Motivations biologiques: relations allométriques.
- 2 Conception d'un modèle individu-centré.
- 3 Résultats à ressource constante.
- 4 Résultats avec compétition pour la ressource.
- Synthèse.

On considère $\mathcal{N}(\mathrm{d} s, \mathrm{d} u, \mathrm{d} h)$ et $\mathcal{N}'(\mathrm{d} s, \mathrm{d} u, \mathrm{d} h)$ deux mesures ponctuelles de Poisson indépendantes sur $\mathbb{R}^+ \times \mathcal{U} \times \mathbb{R}_+^*$, d'intensité $\mathrm{d} s \times n(\mathrm{d} u) \times \mathrm{d} h$, avec $n(\mathrm{d} u) := \sum_{w \in \mathcal{U}} \delta_w(\mathrm{d} u)$, et une condition initiale (μ_0, R_0) . Le flot associé au système d'EDO couplées vérifié par les énergies individuelles et la ressource en l'absence de sauts est noté X.

Écriture classique du processus

On considère $\mathcal{N}(\mathrm{d} s, \mathrm{d} u, \mathrm{d} h)$ et $\mathcal{N}'(\mathrm{d} s, \mathrm{d} u, \mathrm{d} h)$ deux mesures ponctuelles de Poisson indépendantes sur $\mathbb{R}^+ \times \mathcal{U} \times \mathbb{R}_+^*$, d'intensité $\mathrm{d} s \times n(\mathrm{d} u) \times \mathrm{d} h$, avec $n(\mathrm{d} u) := \sum_{w \in \mathcal{U}} \delta_w(\mathrm{d} u)$, et une condition initiale (μ_0, R_0) . Le flot associé au système d'EDO couplées vérifié par les énergies individuelles et la ressource en l'absence de sauts est noté X.

$$(\mu_t, R_t) = X_t(\mu_0, R_0)$$

Écriture classique du processus

On considère $\mathcal{N}(\mathrm{d}s,\mathrm{d}u,\mathrm{d}h)$ et $\mathcal{N}'(\mathrm{d}s,\mathrm{d}u,\mathrm{d}h)$ deux mesures ponctuelles de Poisson indépendantes sur $\mathbb{R}^+ \times \mathcal{U} \times \mathbb{R}_+^*$, d'intensité $\mathrm{d}s \times n(\mathrm{d}u) \times \mathrm{d}h$, avec $n(du) := \sum_{w \in \mathcal{U}} \delta_w(du)$, et une condition initiale (μ_0, R_0) . Le flot associé au système d'EDO couplées vérifié par les énergies individuelles et la ressource en l'absence de sauts est noté X.

$$(\mu_t, R_t) = X_t(\mu_0, R_0) + \int_0^t \int_{\mathcal{U} \times \mathbb{R}^*_+} \mathbb{1}_{\{u \in V_{s-}\}} \mathbb{1}_{\{h \le b(\xi_{s-}^u)\}}$$

 $\mathcal{N}(\mathrm{d}s,\mathrm{d}u,\mathrm{d}h)$

Écriture classique du processus

On considère $\mathcal{N}(\mathrm{d} s, \mathrm{d} u, \mathrm{d} h)$ et $\mathcal{N}'(\mathrm{d} s, \mathrm{d} u, \mathrm{d} h)$ deux mesures ponctuelles de Poisson indépendantes sur $\mathbb{R}^+ \times \mathcal{U} \times \mathbb{R}_+^*$, d'intensité $\mathrm{d} s \times n(\mathrm{d} u) \times \mathrm{d} h$, avec $n(\mathrm{d} u) := \sum_{w \in \mathcal{U}} \delta_w(\mathrm{d} u)$, et une condition initiale (μ_0, R_0) . Le flot associé au système d'EDO couplées vérifié par les énergies individuelles et la ressource en l'absence de sauts est noté X.

$$(\mu_{t}, R_{t}) = X_{t}(\mu_{0}, R_{0})$$

$$+ \int_{0}^{t} \int_{\mathcal{U} \times \mathbb{R}_{+}^{*}} \mathbb{1}_{\{u \in V_{s-}\}} \mathbb{1}_{\{h \leq b(\xi_{s-}^{u})\}}$$

$$[X_{t-s}(\mu_{s-} + \delta_{x_{0}} + \delta_{\xi_{s-}^{u} - x_{0}} - \delta_{\xi_{s-}^{u}}, R_{s})$$

$$-X_{t-s}(\mu_{s-}, R_{s})] \mathcal{N}(\mathrm{d}s, \mathrm{d}u, \mathrm{d}h)$$

Virgile Brodu

On considère $\mathcal{N}(\mathrm{d}s,\mathrm{d}u,\mathrm{d}h)$ et $\mathcal{N}'(\mathrm{d}s,\mathrm{d}u,\mathrm{d}h)$ deux mesures ponctuelles de Poisson indépendantes sur $\mathbb{R}^+ \times \mathcal{U} \times \mathbb{R}_+^*$, d'intensité $\mathrm{d}s \times n(\mathrm{d}u) \times \mathrm{d}h$, avec $n(du) := \sum_{w \in \mathcal{U}} \delta_w(du)$, et une condition initiale (μ_0, R_0) . Le flot associé au système d'EDO couplées vérifié par les énergies individuelles et la ressource en l'absence de sauts est noté X.

$$(\mu_{t}, R_{t}) = X_{t}(\mu_{0}, R_{0})$$

$$+ \int_{0}^{t} \int_{\mathcal{U} \times \mathbb{R}_{+}^{*}} \mathbb{1}_{\{u \in V_{s-}\}} \mathbb{1}_{\{h \leq b(\xi_{s-}^{u})\}}$$

$$[X_{t-s}(\mu_{s-} + \delta_{x_{0}} + \delta_{\xi_{s-}^{u} - x_{0}} - \delta_{\xi_{s-}^{u}}, R_{s})$$

$$- X_{t-s}(\mu_{s-}, R_{s})] \mathcal{N}(\mathrm{d}s, \mathrm{d}u, \mathrm{d}h)$$

$$+ \int_{0}^{t} \int_{\mathcal{U} \times \mathbb{R}_{+}^{*}} \mathbb{1}_{\{u \in V_{s-}\}} \mathbb{1}_{\{h \leq d(\xi_{s-}^{u})\}} [X_{t-s}(\mu_{s-} - \delta_{\xi_{s-}^{u}}, R_{s})$$

$$- X_{t-s}(\mu_{s-}, R_{s})] \mathcal{N}'(\mathrm{d}s, \mathrm{d}u, \mathrm{d}h).$$

Résultats existants :

- Processus bien défini en tout temps t > 0: pas d'accumulation des temps de saut.
- Contrôle de la taille de population.
- Propriétés de martingale du processus.
- Convergence vers un système couplé d'équations intégro-différentielles déterministes.

Fournier, Méléard '04 (modèle d'origine), Tran '08 (modèle structuré en âge), Champagnat et al. '08 (avec mutations), Campillo, Fritsch '15 (interaction avec une ressource), Tchouanti '24 (avec un terme de diffusion).

Résultats existants :

- Processus bien défini en tout temps $t \ge 0$: pas d'accumulation des temps de saut.
- Contrôle de la taille de population.
- Propriétés de martingale du processus.
- Convergence vers un système couplé d'équations intégro-différentielles déterministes.

Fournier, Méléard '04 (modèle d'origine), Tran '08 (modèle structuré en âge), Champagnat et al. '08 (avec mutations), Campillo, Fritsch '15 (interaction avec une ressource), Tchouanti '24 (avec un terme de diffusion).

--- Taux (de saut et de croissance) bornés.

Virgile Brodu Workshop Chaire MMB 13 octobre 2025 16

Nos résultats :

- Processus bien défini en tout temps t > 0: pas d'accumulation des temps de saut, trajectoires individuelles bien définies.
- Contrôle de la taille de population, de l'énergie totale du système, et de moments du processus.
- Propriétés de martingale du processus.
- Convergence vers un système couplé d'équations intégro-différentielles déterministes.
- → Taux (de saut et de croissance) non-bornés.

Nos résultats :

- Processus bien défini en tout temps t > 0: pas d'accumulation des temps de saut, trajectoires individuelles bien définies.
- Contrôle de la taille de population, de l'énergie totale du système, et de moments du processus.
- Propriétés de martingale du processus.
- Convergence vers un système couplé d'équations intégro-différentielles déterministes.
- Taux (de saut et de croissance) non-bornés.
- → Conditions sur les taux et travail dans un espace de mesure à poids.

Renormalisation du processus

Paramètre d'échelle : $K \in \mathbb{N}^*$ (nombre d'individus dans la population à t = 0).



Renormalisation du processus

Paramètre d'échelle : $K \in \mathbb{N}^*$ (nombre d'individus dans la population à t = 0).

On modifie le terme de compétition

$$\frac{\mathrm{d} R_t^K}{\mathrm{d} t} := \varsigma(R_t^K) - \frac{\chi}{K} \sum_{u \in V_t^K} f(\xi_t^{u,K}, R_t^K),$$

on construit $(\nu_t^K, R_t^K)_{t>0}$ de manière classique (Fournier, Méléard '04),

Renormalisation du processus

Paramètre d'échelle : $K \in \mathbb{N}^*$ (nombre d'individus dans la population à t = 0).

On modifie le terme de compétition

$$\frac{\mathrm{d} R_t^K}{\mathrm{d} t} := \varsigma(R_t^K) - \frac{\chi}{K} \sum_{u \in V_t^K} f(\xi_t^{u,K}, R_t^K),$$

on construit $(\nu_t^K, R_t^K)_{t\geq 0}$ de manière classique (Fournier, Méléard '04), et on étudie $\mu_t^K:=\frac{\nu_t^K}{K}$.

Notations préliminaires

On introduit une fonction poids $\omega \in \mathcal{C}^1(\mathbb{R}_+^*)$, strictement positive et croissante.



On introduit une fonction poids $\omega \in \mathcal{C}^1(\mathbb{R}_+^*)$, strictement positive et croissante.

Soit $\mathcal{M}_{\omega}(\mathbb{R}_{+}^{*})$ l'espace des mesures sur \mathbb{R}_{+}^{*} qui intègrent les fonctions f telles que f/ω est bornée.

On introduit une fonction poids $\omega \in \mathcal{C}^1(\mathbb{R}_+^*)$, strictement positive et croissante.

Soit $\mathcal{M}_{\omega}(\mathbb{R}_{+}^{*})$ l'espace des mesures sur \mathbb{R}_{+}^{*} qui intègrent les fonctions f telles que f/ω est bornée.

On écrit $(\mathcal{M}_{\omega}(\mathbb{R}_{+}^{*}), v)$, respectivement $(\mathcal{M}_{\omega}(\mathbb{R}_{+}^{*}), w)$, quand on munit $\mathcal{M}_{\omega}(\mathbb{R}_{+}^{*})$ de la topologie vague, respectivement la topologie ω -étroite.

Virgile Brodu

On introduit une fonction poids $\omega \in \mathcal{C}^1(\mathbb{R}_+^*)$, strictement positive et croissante.

Soit $\mathcal{M}_{\omega}(\mathbb{R}_{+}^{*})$ l'espace des mesures sur \mathbb{R}_{+}^{*} qui intègrent les fonctions f telles que f/ω est bornée.

On écrit $(\mathcal{M}_{\omega}(\mathbb{R}_{+}^{*}), v)$, respectivement $(\mathcal{M}_{\omega}(\mathbb{R}_{+}^{*}), w)$, quand on munit $\mathcal{M}_{\omega}(\mathbb{R}_{+}^{*})$ de la topologie vague, respectivement la topologie ω -étroite.

Soit $\mathbb{D}([0,1],(\mathcal{M}_{\omega}(\mathbb{R}_{+}^{*}),i))$ l'espace de Skorokhod sur $(\mathcal{M}_{\omega}(\mathbb{R}_{+}^{*}),i)$, pour i=v ou w.

Virgile Brodu

Résultat principal

Théorème (**Tension**)

Sous des hypothèses techniques, la suite de renormalisations de notre processus $(\mu^K, R^K)_{K \in \mathbb{N}^*}$ est tendue dans $\mathbb{D}([0, 1], (\mathcal{M}_{\omega}(\mathbb{R}_+^*), \mathbf{w}) \times \mathbb{R})$. Tout point d'accumulation (μ^*, R^*) est continu et vérifie un système d'EDP explicite.

Résultat principal

Théorème (**Tension**)

Sous des hypothèses techniques, la suite de renormalisations de notre processus $(\mu^K, R^K)_{K \in \mathbb{N}^*}$ est tendue dans $\mathbb{D}([0, 1], (\mathcal{M}_{\omega}(\mathbb{R}^*_+), w) \times \mathbb{R})$. Tout point d'accumulation (μ^*, R^*) est continu et vérifie un système d'EDP explicite.

Corollaire (Convergence)

S'il existe une unique solution mesure au système d'EDP précédent, alors le résultat de tension précédent devient un résultat de convergence vers cette unique solution.

Solutions fonctions du système d'EDP limite

Supposons que μ_t est absolument continue par rapport à la mesure de Lebesgue pour tout $t \in [0,1]$, avec une densité régulière u_t ,



Supposons que μ_t est absolument continue par rapport à la mesure de Lebesgue pour tout $t \in [0,1]$, avec une densité régulière u_t , alors pour tout $t \in (0,1]$ et $x \in \mathbb{R}_+^* \setminus \{x_0\}$,

$$\partial_t u_t(x) + \partial_x \bigg(g(x, R_t^*) u_t(x) \bigg) = b(x + x_0) u_t(x + x_0) - (b(x) + d(x)) u_t(x),$$

avec

$$\frac{\mathrm{d}R_t^*}{\mathrm{d}t} = \varsigma(R_t^*) - \chi \int_{\mathbb{R}_+^*} f(x, R_t^*) u_t(x) \mathrm{d}x$$

Solutions fonctions du système d'EDP limite

Supposons que μ_t est absolument continue par rapport à la mesure de Lebesgue pour tout $t \in [0,1]$, avec une densité régulière u_t , alors pour tout $t \in (0,1]$ et $x \in \mathbb{R}^*_+ \setminus \{x_0\}$,

$$\partial_t u_t(x) + \partial_x \bigg(g(x, R_t^*) u_t(x) \bigg) = b(x + x_0) u_t(x + x_0) - (b(x) + d(x)) u_t(x),$$

avec

$$\frac{\mathrm{d}R_t^*}{\mathrm{d}t} = \varsigma(R_t^*) - \chi \int_{\mathbb{R}_+^*} f(x, R_t^*) u_t(x) \mathrm{d}x$$

et la condition aux bords

$$\int_{\mathbb{R}_+^*} b(y) u_t(y) \mathrm{d}y = \bigg(u_t(x_0+) - u_t(x_0-) \bigg) g(x_0, R_t^*).$$

Virgile Brodu

Supposons que μ_t est absolument continue par rapport à la mesure de Lebesgue pour tout $t \in [0,1]$, avec une densité régulière u_t , alors pour tout $t \in (0,1]$ et $x \in \mathbb{R}_+^* \setminus \{x_0\}$,

$$\partial_t u_t(x) + \partial_x \left(g(x, R_t^*) u_t(x) \right) = b(x + x_0) u_t(x + x_0) - (b(x) + d(x)) u_t(x),$$

avec

$$\frac{\mathrm{d}R_t^*}{\mathrm{d}t} = \varsigma(R_t^*) - \chi \int_{\mathbb{R}_+^*} f(x, R_t^*) u_t(x) \mathrm{d}x$$

et la condition aux bords

$$\int_{\mathbb{R}^*_+} b(y) u_t(y) \mathrm{d}y = \left(u_t(x_0 +) - u_t(x_0 -) \right) g(x_0, R_t^*).$$

Illustration numérique avec une solution fonction

K = 100

Density at time t = 160.0

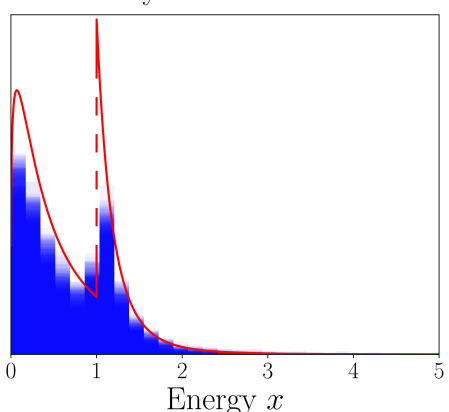
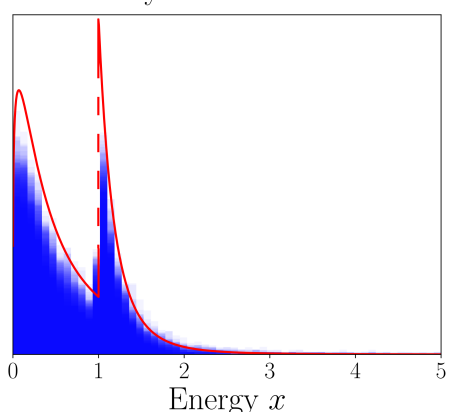


Illustration numérique avec une solution fonction



Density at time t = 160.0

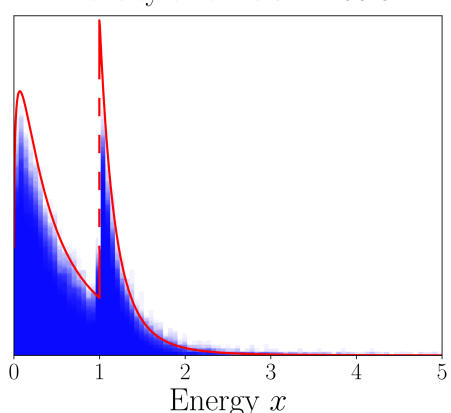


Workshop Chaire MMB

Illustration numérique avec une solution fonction



Density at time t = 160.0



Workshop Chaire MMB

22

Proposition

Il existe une fonction poids ω appropriée dans le cas allométrique.



Lien avec notre motivation biologique

Proposition

Il existe une fonction poids ω appropriée dans le cas allométrique.

Remarque: on obtient un système d'EDP limite similaire dans le modèle à ressource constante.

Proposition

Il existe une fonction poids ω appropriée dans le cas allométrique.

Remarque: on obtient un système d'EDP limite similaire dans le modèle à ressource constante.

Théorème

Dans le cas allométrique, si $\gamma = \alpha = \delta + 1$, la valeur de la ressource à un équilibre non-trivial (s'il existe) est unique et vérifie

$$\phi(R_{\mathrm{eq}}) = \frac{C_{\delta} + C_{\alpha}}{C_{\gamma}} < 1.$$

Proposition

Il existe une fonction poids ω appropriée dans le cas allométrique.

Remarque : on obtient un système d'EDP limite similaire dans le modèle à ressource constante.

Théorème

Dans le cas allométrique, si $\gamma=\alpha=\delta+1$, la valeur de la ressource à un équilibre non-trivial (s'il existe) est unique et vérifie

$$\phi(R_{\mathrm{eq}}) = \frac{C_{\delta} + C_{\alpha}}{C_{\gamma}} < 1.$$

→ TME : compatible avec l'existence d'un équilibre non-trivial.

Virgile Brodu

22

Proposition

Il existe une fonction poids ω appropriée dans le cas allométrique.

Remarque: on obtient un système d'EDP limite similaire dans le modèle à ressource constante.

Théorème

Dans le cas allométrique, si $\gamma = \alpha = \delta + 1$, la valeur de la ressource à un équilibre non-trivial (s'il existe) est unique et vérifie

$$\phi(R_{\mathrm{eq}}) = rac{C_{\delta} + C_{lpha}}{C_{\gamma}} < 1.$$

- → TME : compatible avec l'existence d'un équilibre non-trivial.
- → Les autres relations allométriques ne sont pas compatibles.

Workshop Chaire MMB 13 octobre 2025

- 1 Motivations biologiques: relations allométriques.
- 2 Conception d'un modèle individu-centré.
- 3 Résultats à ressource constante.
- 4 Résultats avec compétition pour la ressource.
- Synthèse.

Rappellons que le jeu de paramètres prédit par la TME est

$$\alpha = \gamma = \beta + 1 = \delta + 1. \tag{1}$$

Rappellons que le jeu de paramètres prédit par la TME est

$$\alpha = \gamma = \beta + 1 = \delta + 1. \tag{1}$$

Ce sont les seules allométries qui vérifient les deux conditions suivantes (pour le modèle à ressource constante) :

Rappellons que le jeu de paramètres prédit par la TME est

$$\alpha = \gamma = \beta + 1 = \delta + 1. \tag{1}$$

Ce sont les seules allométries qui vérifient les deux conditions suivantes (pour le modèle à ressource constante) :

Il existe une quantité de ressources R_{sup} à partir de laquelle la population survit avec probabilité positive (étude d'un processus de branchement).



Rappellons que le jeu de paramètres prédit par la TME est

$$\alpha = \gamma = \beta + 1 = \delta + 1. \tag{1}$$

Ce sont les seules allométries qui vérifient les deux conditions suivantes (pour le modèle à ressource constante) :

- Il existe une quantité de ressources R_{sup} à partir de laquelle la population survit avec probabilité positive (étude d'un processus de branchement).
- 2 Il existe une quantité de ressources R_{eq} pour laquelle le système d'EDP limite est à un équilibre non-trivial (résultat de convergence avec des taux non-bornés, simulations numériques).

Rappellons que le jeu de paramètres prédit par la TME est

$$\alpha = \gamma = \beta + 1 = \delta + 1. \tag{1}$$

Ce sont les seules allométries qui vérifient les deux conditions suivantes (pour le modèle à ressource constante) :

- Il existe une quantité de ressources R_{sup} à partir de laquelle la population survit avec probabilité positive (étude d'un processus de branchement).
- 2 Il existe une quantité de ressources R_{eq} pour laquelle le système d'EDP limite est à un équilibre non-trivial (résultat de convergence avec des taux non-bornés, simulations numériques).
- \longrightarrow Justification mathématique de (1).